

**МИНИСТЕРСТВО ОБРАЗОВАНИЯ РЕСПУБЛИКИ  
БЕЛАРУСЬ**

**БЕЛОРУССКИЙ ГОСУДАРСТВЕННЫЙ УНИВЕРСИТЕТ**

**Факультет прикладной математики и информатики**

**Кафедра математического моделирования и управления**

**КОМОДЕЙ**  
Владислав Геннадьевич

**ЧИСЛЕННОЕ РЕШЕНИЕ ЗАДАЧИ СОПРЯЖЕНИЯ  
УРАВНЕНИЙ ГИПЕРБОЛИЧЕСКОГО И  
ПАРАБОЛИЧЕСКОГО ТИПОВ МЕТОДОМ КОНЕЧНЫХ  
ЭЛЕМЕНТОВ**

Дипломная работа

Руководитель:  
кандидат физ.-мат. наук,  
доцент Лемешевский С.В.

Допущен к защите  
« \_\_\_\_ » \_\_\_\_\_ 2017 г.  
Зав. кафедрой,  
кандидат физ.-мат наук,  
доцент, Белько В.И.

Минск, 2017

# ОГЛАВЛЕНИЕ

ВВЕДЕНИЕ . . . . .	5
1 Описание постановки задачи сопряжения для уравнения гипербола- параболического типа и методов ее решения . . . . .	6
1.1 Постановка задачи сопряжения для уравнения гипербола пара- болического типа . . . . .	6
1.2 Введение в метод конечных элементов . . . . .	7
2 Поиск решения задачи сопряжения гипербола параболического урав- нения . . . . .	9
2.1 Вариационная формулировка задачи сопряжения гипербола па- раболического уравнения . . . . .	9
2.2 Построение СЛАУ для задачи сопряжения гипербола параболи- ческого уравнения . . . . .	13
2.3 Апостериорная оценка погрешности для решения задачи сопря- жения гипербола параболического уравнения . . . . .	15
3 Вычислительный эксперимент . . . . .	17
3.1 Описание пакета FEniCS . . . . .	17
3.2 Построение решения задачи сопряжения гипербола параболиче- ского уравнения с помощью пакета FEniCS . . . . .	18
ЗАКЛЮЧЕНИЕ . . . . .	24
СПИСОК ИСПОЛЬЗУЕМЫХ ИСТОЧНИКОВ . . . . .	25
ПРИЛОЖЕНИЕ А . . . . .	26
Программа для решения задачи о сопряжении гиперболического и эллиптического уравнений . . . . .	26

## РЕФЕРАТ

Дипломная работа, 23 стр., 9 рис., 2 источника, 1 приложение

**Ключевые слова:** ДИФФЕРЕНЦИАЛЬНОЕ УРАВНЕНИЕ, ВАРИАЦИОННАЯ ПОСТАНОВКА, КОНЕЧНЫЕ ЭЛЕМЕНТЫ, FENICS, PYTHON.

**Объект исследования** — задача сопряжения уравнений гиперболического и параболического типов.

**Цель работы** — численное решение задачи сопряжения уравнений гиперболического и параболического типов

**Методы исследования** — метод конечных элементов.

**Результатами** являются: вычислительный алгоритм и программа решения задачи сопряжения уравнений гиперболического и параболического типов

**Область применения** — приближенное решение дифференциальных уравнений, математическое моделирование процессов, протекающих в разнородных средах.

## РЭФЕРАТ

Дыпломная работа, 23 с., 9 мал., 2 крыніцы, 1 дадатак.

**Ключавыя словы** ДЫФЕРЕНЦЫАЛЬНАЕ РАУНАННЕ, ВАРЫЯЦЫЕННАЯ ПАСТАНОУКА, КАНЧАТКОВЫЯ ЭЛЕМЕНТЫ, FENICS, PYTHON.

**Аб'ект даследавання** — задача аб спалучэнні гіпербалічнага і парабалічнага раунання.

**Мэта работы** — выліковае рашэнне задачы аб спалучэнні гіпербалічнага і парабалічнага раунання.

**Метады даследавання** — метады канчатковых элементаў.

**Вынікамі** з'яўляюцца: выліковы алгарытм і праграма рашэння задачы аб спалучэнні гіпербалічнага і парабалічнага раунання.

**Вобласць прымянення** — прыблізнае рашэнне дыференцыяльных раунанняў, матэматычнае мадэляванне працэсаў якія праходзяць у разнастайных асяроддзях.

## SUMMARY

Graduate work. 23 p., 9 pic., 2 sources, 1 appendix

**Key words:** DIFFERENTIAL EQUATION, VARIATION FORMULATION, FINITE ELEMENTS, FENICS, PYTHON.

**Research object:** problem about hyperbolic and parabolic equation conjugation.

**Work goal:** numerical solution of hyperbolic and parabolic equation conjugation problem.

**Research methods** — finite element method.

**Results** — computational algorithm and program for solving hyperbolic and parabolic equations conjugation problem.

**Use area** — approximate solutions of differential equations, mathematical modeling of processing in various media.

# ВВЕДЕНИЕ

Необходимость рассмотрения сопряжения, когда на одной части области задано уравнение параболического типа, а на другой – уравнение гиперболического типа, была впервые высказана И.М. Гельфандом в 1959 г[1]. Например, к задаче сопряжения приводит изучение электрических колебаний в проводах.

Такого рода задачи встречаются также при изучении движения жидкости в канале, окруженной пористой средой, в теории распространения электромагнитных полей и в ряде других областей физики. Так, в канале гидродинамическое давление жидкости удовлетворяет волновому уравнению, а в пористой среде – уравнению фильтрации, которое в данном случае совпадает с уравнением диффузии[2]. При этом на границе канала выполняются некоторые условия сопряжения. Аналогичная ситуация имеет место для магнитной напряженности электромагнитного поля в указанной выше неоднородной среде[3]. Большой интерес представляет изучение влияния вязкоупругих свойств нефти на различные технологические процессы ее добычи. Если рассмотреть совместное движение различных несмешивающихся жидкостей в трещинах и пористых пластах с учетом вязкоупругих характеристик, то движение вязкоупругой и вязкой жидкостей в плоской горизонтальной трещине без учета поверхностных явлений описывается одномерным гиперболическим уравнением и уравнением теплопроводности с интегро-дифференциальными условиями на границе раздела движущихся жидкостей.

В настоящей работе решаются задача о сопряжении гиперболического и параболического уравнений по пространственной переменной в конечных областях с помощью метода конечных элементов. Решение находится с помощью пакета вычислительной математики FEniCS, который предназначен для решения задач с помощью данного метода. Рассматривается погрешность полученного решения и порядок метода конечных элементов

# 1 Описание постановки задачи сопряжения для уравнения гипербола параболического типа и методов ее решения

## 1.1 Постановка задачи сопряжения для уравнения гипербола параболического типа

Пусть ограниченная область  $\Omega \subset \mathbb{R}^2$  с границей  $\partial\Omega$  разбивается кривой  $\Gamma$  на две подобласти  $\Omega_1$  и  $\Omega_2$ . В области  $\Omega_2$  будем рассматривать уравнение параболического типа, а в  $\Omega_1$  – уравнение гиперболического типа по  $t$ . На  $\partial\Omega$  задаются граничные условия, на  $\Gamma$  – условия сопряжения. Задача формулируется следующим образом, для неизвестной функции  $u$ :

$$u(x) = \begin{cases} u_1, & x \in \Omega_1 \\ u_2, & x \in \Omega_2 \end{cases}$$

рассмотрим следующие уравнения:

$$\frac{\partial^2 u_1}{\partial t^2} = \operatorname{div}(k_1(x) \operatorname{grad} u_1) + f_1(x, t), \quad x \in \Omega_1, \quad t > 0, \quad (1)$$

$$\frac{\partial u_2}{\partial t} = \operatorname{div}(k_2 \operatorname{grad} u_2) + f_2(x, t) \quad (2)$$

Уравнения (1) и (2) дополним граничными условиями Дирихле:

$$u = 0, \quad x \in \partial\Omega. \quad (3)$$

На границе раздела задаются условия сопряжения:

$$(k_1(x) \operatorname{grad} u_1, \bar{n}) = (k_2(x) \operatorname{grad} u_2, \bar{n}), \quad x \in \Gamma, \quad (4)$$

$$u_1(x, t) = u_2(x, t), \quad x \in \Gamma$$

Также в области  $\Omega_1$  задаются начальные условия:

$$u_1(x, 0) = \varphi_1(x), \quad x \in \Omega_1 \quad (5)$$

$$\frac{\partial u_1}{\partial t}(x, 0) = \psi(x), \quad x \in \Omega_1 \quad (6)$$

$$u_2(x, 0) = \varphi_2(x), \quad x \in \Omega_2 \quad (7)$$

Пусть  $k(x)$ :

$$k(x) = \begin{cases} k_1, & x \in \Omega_1 \\ k_2, & x \in \Omega_2 \end{cases}$$

Известно, что задача (1) - (7) имеет единственное решение

## 1.2 Введение в метод конечных элементов

Метод конечных элементов(МКЭ) — это численная процедура решения задач, сформулированных в виде дифференциального уравнения или вариационного принципа.[2] МКЭ возник как универсальный метод для решения дифференциальных уравнений. Метод приобрел большую популярность, так как он позволяет анализировать и решать широкий спектр задач.

В отличие от других методов, метод конечных элементов имеет одну особенность. В данном методе аппроксимирующая функция является комбинацией кусочно-гладких конечных функций. Данные функции являются ненулевыми только в определенном интервале(в методе конечных элементов такие интервалы называются конечными элементами, на которые, собственно и разбивается область  $\Omega$ .

Сам метод конечных элементов включает в себя достаточно много технологий. Процесс построения решения для данного метода включает определенную последовательность шагов. Перечислим эти шаги.

1. Для начала необходимо построить сетку для нашей области  $\Omega$ . Для задания коэффициентов уравнений, надо знать определенные свойства материала. Область  $\Omega$  в нашем случае необходима быть покрыта подобластями, удовлетворяющим свойствам - они все должны быть попарно непересекаемыми [3]. Такие подобласти и называются конечными элементами (КЭ)(Рисунок 1).

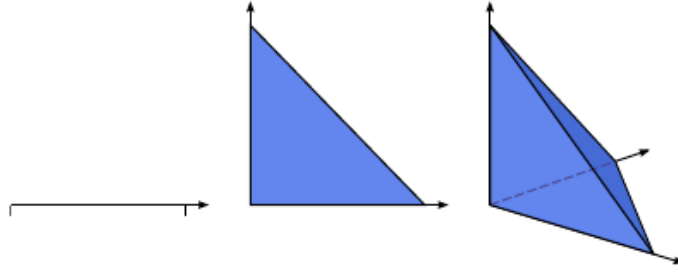


Рисунок 1 – Пример конечно-элементных подобластей для пространств размерности  $n = 1, 2, 3$

Соответственно, совокупность всех КЭ называется конечно-элементной сеткой[4]. Вершины конечных элементов называются узлами. Узлы бывают двух типов: внешние и внутренние. На границах конечных элементов расположены внешние узлы(они соединяют соседние КЭ). Внутренние узлы конечного элемента используются для более конкретного описания искомых функций[3].

Рассмотрим решение в узле. Части решения в конкретном узле называются степенями свободы. Понятно, что в зависимости от типа задачи число степеней свободы в узле различно. В задаче теплопроводности, например, ищется одно значение температуры(одна степень свободы)[3]. В случае двумерной задачи упругости, число частей решения будет равно двум(т.к.  $u = (u_x, u_y)$ ). Значения функции в узлах могут фигурировать в качестве степеней свободы[3]. Важно знать материал, который присутствует в задаче. В нашем случае из этого материала сделаны сами конечные элементы.

Как только область разбита на соответствующие подобласти, на каждой такой подобласти можно определить функциональное пространство  $V$  и использовать каждое  $V$  для определения глобального функционального пространства  $V_h$ . Подобласть  $T$  вместе с определенным на ней функциональным пространством  $V$  называется конечным элементом. Более строгое определение:

- Подобласть  $T$  - замкнута, с кусочно-гладкой границей
- Область  $V(T)$  - конечное функциональное пространство на  $T$

2. Приведение поиска решения к решению обычной системы линейных уравнений с учетом граничных условий.



3. Решение полученной системы уравнений. После решения данной системы, мы получим коэффициенты. Причем, так как на каждом КЭ мы задали функциональное пространство и базисные функции, то после отыскания коэффициентов решения, наше решение не только будет совпадать в узлах сетки:  $u_h(x_i, t) = u(x_i, t) = u_i^t$ , а так же являться непрерывным в остальных точках[4].

## 2 Поиск решения задачи сопряжения гипербола параболического уравнения

### 2.1 Вариационная формулировка задачи сопряжения гипербола параболического уравнения

Для применения метода конечных элементов введем следующие пространства:

$$V = \{u : u_1 : x \in \Omega_1; u_2 : x \in \Omega_2; u = 0, x \in \partial\Omega; \} \quad (8)$$

$$\hat{V} = \{v \in H^1(\Omega), v = 0, x \in \partial\Omega\} \quad (9)$$

Пространство  $H^1$  - пространство Соболева, содержащие такие функции  $v$ , что функции  $v^2$  и  $||\nabla v||^2$  имеют конечные интегралы по области  $\Omega$

На нулевом слое нам известно точное значение функции  $u$ . Это значение можно увидеть из начальных условий (5), (7).

Разберемся с первым слоем. Для  $\Omega_1$  нам дано (6). Домножим (6) на  $v$  с обеих сторон и проинтегрируем по области  $\Omega_1$ . Соответственно, получим:

$$\int_{\Omega_1} \frac{\partial u_1}{\partial t} v dx = \int_{\Omega_1} \psi v dx$$

Распишем первую производную по  $t$  по разностной формуле  $\frac{\partial u}{\partial t} = \frac{u^1 - u_0}{\tau}$ .

Соответственно, получим:

$$\int_{\Omega_1} \frac{u^1 - u_0}{\tau} v dx = \int_{\Omega_1} \psi v dx \quad (10)$$

Перенесем все части с  $u^1$  в (10) в левую часть, а остальные - в правую. Получим:

$$\int_{\Omega_1} u_1^1 v dx = \tau \int_{\Omega_1} \psi v dx + \int_{\Omega_1} \phi_1 v dx \quad (11)$$

Из (11) выделим следующие члены:

$$a_1(u_1^1, v) = \int_{\Omega_1} u_1^1 v dx \quad (12)$$

$$L_1(v) = \tau \int_{\Omega_1} \psi v dx + \int_{\Omega_1} \phi_1 v dx \quad (13)$$

В литературе  $a$  называется билинейной формой, а  $L$  - линейной формой.

Так как у нас нет условий на  $\Omega_2$  для первого слоя, то необходимо использовать (2). Домножим (2) на  $v$  с обеих сторон и проинтегрируем по пространству  $\Omega_2$ . Получим:

$$\int_{\Omega_2} \frac{u_2^1 - u_2^0}{\tau} v dx = \int_{\Gamma} k_1(\text{grad } u_1^1, \tilde{n}) v dS - \int_{\Omega_2} k_2(\text{grad } u_2^1, \text{grad } v) dx + \int_{\Omega_2} f_2 v dx \quad (14)$$

Для производной  $u$  по  $t$  использовали разностную подстановку определенную выше.

Таким образом, для первого слоя для  $\Omega_2$  получили следующие линейные и билинейные формы:

$$a_2(u_2^1, v) = \int_{\Omega_2} \frac{u_2^1 - u_2^0}{\tau} v dx \quad (15)$$

$$L_2(v) = \int k_1(\text{grad } u_1^1, \tilde{n})v dS - \int_{\Omega_2} k_2(\text{grad } u_2^1, \text{grad } v)dx + \int_{\Omega_2} f_2 v dx \quad (16)$$

Теперь, когда у нас есть все данные для нулевого и первого слоя - распишем задачу для  $n = 2, \dots$

Вариационная задача строится аналогичным образом: домножаем уравнения (1)-(2) на  $v \in V$  с обеих сторон и интегрируем их по пространству. Уравнение (1) интегрируем по пространству  $\Omega_1$ , уравнение (2) интегрируем по пространству  $\Omega_2$ .

Для преобразования подынтегральных выражений вида  $\text{div}(\bar{a})v$  применяем формулу:

$$\text{div}(\bar{a})v = \text{div}(\bar{a}v) - (\bar{a}, \text{grad } v)$$

$$\int_{\Omega_1} \frac{\partial^2 u}{\partial t^2} v dx = \int_{\Gamma} v(k_1 \text{grad } u_1, \bar{n}) dS - \int_{\Omega_1} (k_1 \text{grad } u_1, \text{grad } v) dx + \int_{\Omega_1} f_1 v dx$$

Применим начальное условие Дирихле (3) и получим:

$$\int_{\Omega_1} \frac{\partial^2 u}{\partial t^2} v dx = \int_{\Gamma} v(k_1 \text{grad } u_1, \bar{n}) dS - \int_{\Omega_1} (k_1 \text{grad } u_1, \text{grad } v) dx + \int_{\Omega_1} f_1 v dx \quad (17)$$

$\bar{n}$  - внешняя нормаль к области  $\Omega_1$  от границы  $\Gamma$ . Члены вида  $(\text{grad } u, \bar{n})$  - производные по направлению от границы. Функция  $v$  в литературе называется тестовой функцией (Test Function) [4],  $u$  - триальной функцией (Trial Function).

Домножим уравнение (2) на тестовую функцию  $v$  с обеих сторон, проинтегрируем полученное равенство по области  $\Omega_2$  и применим условие, что  $v = 0, x \in \partial\Omega$  :

$$\int_{\Omega_2} v \frac{\partial u_2}{\partial t} = \int_{\partial\Omega_2} k_2(x) v (\text{grad} u_2, \bar{n}) dS - \int_{\Omega_2} (k_2(x) \text{grad} u_2, \text{grad} v) dx + \int_{\Omega_2} f_2 v dx \quad (18)$$

К уравнению (17) прибавим (18), применяя условие сопряжения (4):

$$\int_{\Omega_1} \frac{\partial^2 u_1}{\partial t^2} v dx + \int_{\Omega_2} \frac{\partial u_2}{\partial t} v dx = - \int_{\Omega} k(x) (\text{grad} u, \text{grad} v) dx + \int_{\Omega} f v dx \quad (19)$$

Таким образом, мы получили уравнение (19) для всей области  $\Omega$  вместо исходных (1), (2) для  $\Omega_1$  и  $\Omega_2$ . Заметим, что (19) равносильно уравнениям (1)-(2).

Произведем дискретизацию по времени. Разобьем отрезок  $[0, T]$  на  $N$  частей с шагом  $\tau$  и распишем член  $\frac{\partial^2 u}{\partial t^2}$  и  $\frac{\partial u}{\partial t}$  по формуле разностной производной:

$$\frac{\partial u}{\partial t} = \frac{u^{n+1} - u^n}{\tau} \quad (20)$$

$$\frac{\partial^2 u}{\partial t^2} = \frac{u^{n+1} - 2u^n + u^{n-1}}{\tau^2} \quad (21)$$

Домножим на  $v$  и проинтегрируем начальные условия (6). Получим:

$$\int_{\Omega_1} \frac{\partial u_1}{\partial t} v dx = \int_{\Omega_1} \psi v dx \quad (22)$$

Подставим в (22) выражение (20):

$$\int_{\Omega_1} \frac{u_1^1 - u_1^0}{\tau} v dx = \int_{\Omega_1} \psi v dx$$

После нехитрых преобразований получим конструкцию вида:

$$a(u^1, v) = L(v) \quad (23)$$

Где:

$$a_1(u^{n+1}) = \int_{\Omega_1} u_1 v dx$$

$$L_2(v) = \int_{\Omega_1} \varphi_1 v dx + \tau \int_{\Omega_1} \psi v dx$$

Таким образом мы получили разложение для  $\Omega_1$  на первом слое. Теперь мы должны получить соответствующее разложение для  $\Omega_2$ . Для этого воспользуемся уравнением (19);

$$\int_{\Omega_2} v dx = \int_{\Gamma} k_1(\text{gradu}_1^1, \bar{n}) v ds - \int_{\Omega_2} k_2(\text{gradu}_2^1, \text{grad} v) dx + \int_{\Omega_2} f_2 v dx$$

После преобразований получим окончательное выражение линейной и билинейной формы для первого слоя на  $\Omega_2$ :

$$a_2(u_2^1, v) = \int_{\Omega_2} v dx + \tau \int_{\Omega_2} k_2(\text{gradu}_2^1, \text{grad} v) dx$$

$$L_2(v) = \int_{\Gamma} (\text{gradu}_1^1, \bar{n}) v dS + \int_{\Omega_2} v dx v dx$$

Проведем аналогичные преобразования (перенос членов в левую и правые части) для (19):

$$a(u, v) = \int_{\Omega_2} v dx + \tau \int_{\Omega_2} u^{n+1} v dx + \tau^2 \int_{\Omega} k(\text{gradu}^{n+1}, \text{grad} v) dx \quad (24)$$

$$L(v) = \int_{\Omega_1} (2u^n - u^{n-1}) v dx + \tau \int_{\Omega_2} u^n v dx + \tau^2 \int_{\Omega} f v dx \quad (25)$$

## 2.2 Построение СЛАУ для задачи сопряжения гипербола параболического уравнения

Для решения нашей задачи численно, необходимо применить процесс дискретизации по пространству к исходной задаче (1)-(7). Функцию, которую

будем находить обозначим  $u_h$ .

Далее, область  $\Omega$  мы разобьем на конечные элементы. В нашем случае мы будем разбивать область на треугольники. Процесс называется триангуляцией. Разобьем область на  $M$  конечных элементов и зададим на каждом базисную функцию  $\phi_k$ . Причем:

$$u_h(x) = \sum_{k=1}^M u_k^{n+1} \phi_k(x) \quad (26)$$

Где:

$$v(x) = \phi_j \quad (27)$$

Как известно из метода конечных элементов, мы оперируем линейной и билинейной формой.

$$a(u, v) = L(v) \quad (28)$$

Подставим в (28) выражения (26) и (27) соответственно. Получим следующее равенство:

$$a(u^{n+1}, \phi_i) = a\left(\sum_{k=1}^M u_k^{n+1} \phi_k, \phi_i\right) \quad (29)$$

Известно, что оператор  $a$  линеен, то есть:

$$a(\lambda_1 u_1 + \lambda_2 u_2, v) = \lambda_1 a(u_1, v) + \lambda_2 a(u_2, v)$$

Таким образом, перепишем (29):

$$a(u^{n+1}, \phi_i) = \sum_{k=1}^M u_k^{n+1} a(\phi_k, \phi_i) \quad (30)$$

Таким образом, получили следующую задачу:  $AU = F$ , где матрица  $A$  состоит из членов  $a_{ki} = a(\phi_k, \phi_i)$ . Искомый вектор  $U$  имеет вид:

$$U = \begin{bmatrix} u_0^{n+1} \\ u_1^{n+1} \\ \dots \\ u_M^{n+1} \end{bmatrix}$$

Получили систему, которую, например, можно решить методом LU факторизации.

### 2.3 Апостериорная оценка погрешности для решения задачи сопряжения гипербола параболического уравнения

Обозначим за  $u^n$  - решение задачи (1)-(7), а  $u_h^n$  - наше решение, полученное методом конечных элементов.

В данном разделе исследована погрешность по методу Рунге-Эйткена[4]. Саму погрешность представим в следующем разложении:

$$E_0 = Mh^p \quad (31)$$

В (31) коэффициент  $M$  - некая константа, которая определяется методом решения.  $h$  - соответственно, шаг дифференцирования.  $p$  - порядок метода. В свою очередь -  $E_0$  называется главным членом погрешности.

Распишем следующую величину:

$$||e_h|| = ||u_h^n - u^n|| = ||u_h^n|| + M_1h^p + O(h^{p+1}) \quad (32)$$

Теперь, вычислим ту же самую разность, но уже с новым шагом  $kh$ :

$$||e_{kh}|| = ||u_{kh} - u^n|| = ||u_{kh}|| + M(kh)^p + O((kh)^{p+1}) \quad (33)$$

Где коэффициент пропорциональности  $k$  может быть как больше, так и меньше единицы. Коэффициент  $M$  будет одинаковым, так как вычисляется одна и та же переменная, одним и тем же методом, а от величины шага  $M$  не зависит.

Пренебрегая бесконечно малыми величинами, приравняем (32) и (33):

$$||u_h^n|| + E_0 = ||u_{kh}|| + k^p E_0$$

Откуда найдем главный член погрешности:

$$E_0 = \frac{||u_h^n|| - ||u_{kh}||}{k^p - 1} \quad (34)$$

Формула (34) называется первой формулой Рунге и она позволяет оценить погрешность. Формула (34) имеет большое практическое значение, так как позволяет провести оценку погрешности без изменения алгоритма метода.

В нашем случае неизвестен порядок метода – степень  $p$ . Для этого необходимо третий раз вычислить значение величины  $e_h$  с шагом  $k^2h$ , то есть:

$$||e_h|| = ||u_{k^2h}|| + k^{2p} E_0 \quad (35)$$

Приравняв правые части (34) и (35), можем выразить  $k^p$ :

$$k^p = \frac{||u_{kh}|| - ||u_{k^2h}||}{||u_h|| - ||u_{kh}||} \quad (36)$$

Прологарифмируя соотношение (36) определим порядок  $p$ .

$$p = \frac{\ln \left( \frac{||u_{kh}|| - ||u_{k^2h}||}{||u_h|| - ||u_{kh}||} \right)}{\ln k} \quad (37)$$



## 3 Вычислительный эксперимент

### 3.1 Описание пакета FEniCS

Для применения метода конечных элементов будем использовать пакеты FEniCS и FEniCSTools. Пакет FEniCS состоит из большого количества библиотек(написанных на C++, которые транспируются в python модули, что говорит о довольно быстрой реализации данного пакета) призванных упростить решения различных дифференциальных уравнений. Использование FEniCS подразумевает собой, что пользователь должен иметь абстрактные знания о методе конечных элементов(основной метод, которым FEniCS решает уравнения). Но на самом деле, FEniCS скрывает от пользователя конечную реализацию алгоритма. Таким образом, код приложения весьма лаконичен и понятен человеку, который знает лишь базовые понятия языка программирования python. Несмотря на то, что все пакеты можно установить из репозитория вашего дистрибутива(как то `apt-get install fenics`), я все же рекомендую делать это через исходный код самих пакетов. Таким образом мы можем подобрать корректную версию FEniCS и FEniCSTools. Пакет FEniCS предназначен для решения задач методом конечных элементов в различных вариациях. FEniCS базируется на библиотеке Dolfin, которую так же нужно установить. FEniCS позволяет проводить сложные вычисления вводя в программу лишь аналитический вид уравнения практически в "чистом" виде. Так же FEniCS проводит дискретизацию области по пространству различными способами и с различными типами базисных функций(готовую сетку можно отдать FEniCS в входном файле, что дает довольно большой простор для действий). Пакет FEniCSTools используется для экстраполяции функции из подобласти  $\Omega_1$  или  $\Omega_2$  на всю подобласть  $\Omega$ . Так же стоит отметить, что пакет FEniCS высокоуровневый и низкоуровневый одновременно, что позволяет настроить работу программы практически под любые действия, не используя при этом множество сторонних библиотек. FEniCS активно развивается в настоящее время, поэтому практически всегда можно найти решения возникающих проблем или задать вопрос разработчикам данного пакета.

### 3.2 Построение решения задачи сопряжения гипербола-параболического уравнения с помощью пакета FEniCS

Рассмотрим следующую задачу сопряжения гипербола-параболического уравнения:

$$\frac{\partial^2 u_1}{\partial t^2} = \operatorname{div}(\operatorname{grad} u_1) + 20t \sin(\pi xy), \quad x \in \Omega_1, \quad t > 0 \quad (38)$$

$$\frac{\partial u_2}{\partial t} = \operatorname{div}(k_2 \operatorname{grad} u_2, \bar{n}) + 10(t+1) \sin(\pi xy), \quad x \in \Omega_2, \quad t > 0 \quad (39)$$

Уравнения (38) и (39) дополним граничными условиями Дирихле:

$$u = 0, \quad x \in \partial\Omega$$

На границе раздела задаются условия сопряжения:

$$(\operatorname{grad} u_1, \bar{n}) = (\operatorname{grad} u_2, \bar{n}), \quad x \in \Gamma$$

$$u_1(x, t) = u_2(x, t), \quad x \in \Gamma$$

Начальные условия:

$$u_1(x, 0) = \sin(\pi x) \sin(\pi y), \quad x \in \Omega_1$$

$$u_2(x, 0) = (t+1) \sin(\pi x) \sin(\pi y), \quad x \in \Omega_2$$

$$\frac{\partial u_1}{\partial t}(x, 0) = \sin(\pi x) \sin(\pi y), \quad x \in \Omega_1$$

За область возьмем:

$$\Omega = [0, 1] \times [0, 1]$$

На первом слое решение нам уже известно. На втором слое, мы знаем уравнение для  $\Omega_1$ , для  $\Omega_2$  мы строили основное уравнение. Построим триангуляцию области  $\Omega$ .

Для начала разобьем область  $\Omega$  на  $\Omega_1$  и  $\Omega_2$ , с границей сопряжения  $\Gamma$  в точке  $x = 0.5$ . (Рисунок 2)

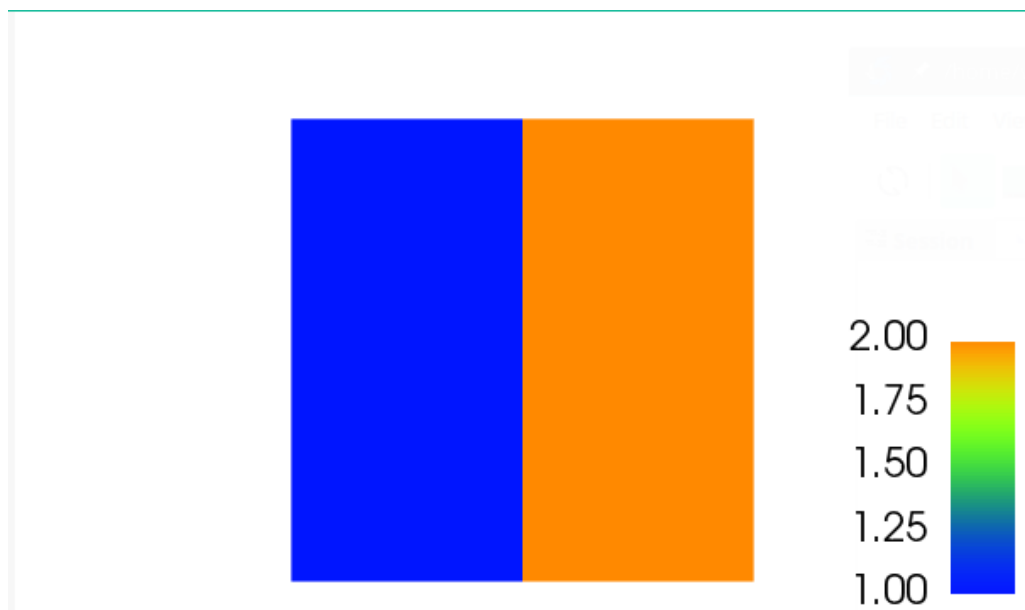


Рисунок 2 – Расчетная область  $\Omega$  с обозначенными синим цветом  $\Omega_1$ ,  
оранжевым -  $\Omega_2$

Проведем триангуляцию области  $n = 100$  треугольниками и построим решение на первом временном слое, при  $t = 0$ . (Рисунок 3):

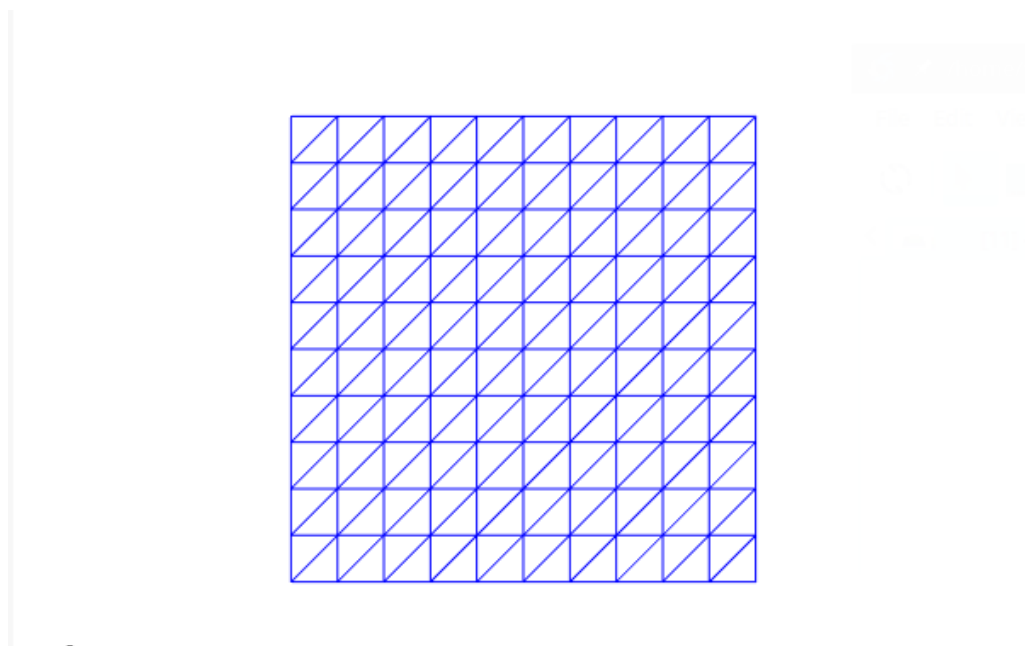


Рисунок 3. – Триангуляция области  $\Omega$  при  $n = 100$

Пример решения на  $n = 100$  треугольниках и при  $t = 10$  приведен на рисунке 4:

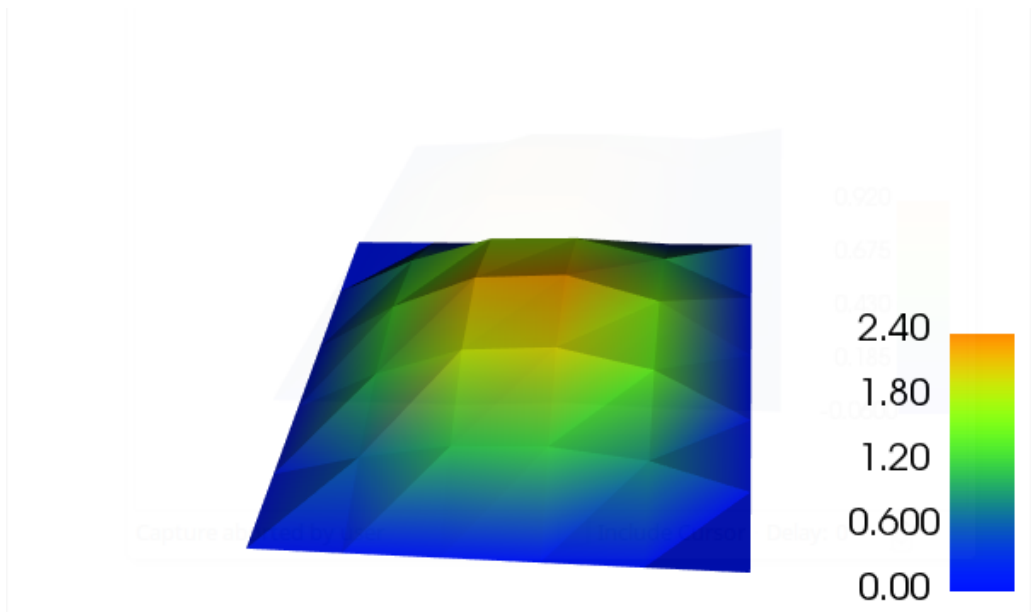


Рисунок 4 – Решение задачи (38)-(39) при  $t = 0$

Триангуляция  $\Omega$  при 400 треугольниках. (Рисунок 5)

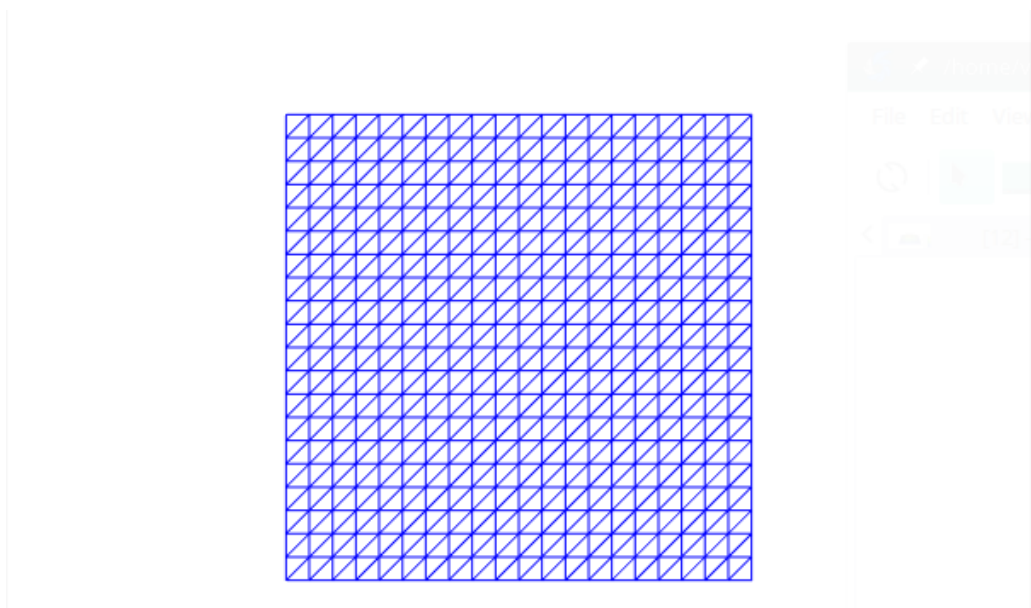


Рисунок 5 – Триангуляция области  $\Omega$  при  $n = 400$

Решение (22)-(28) начальном временном слое. (Рисунок 6)

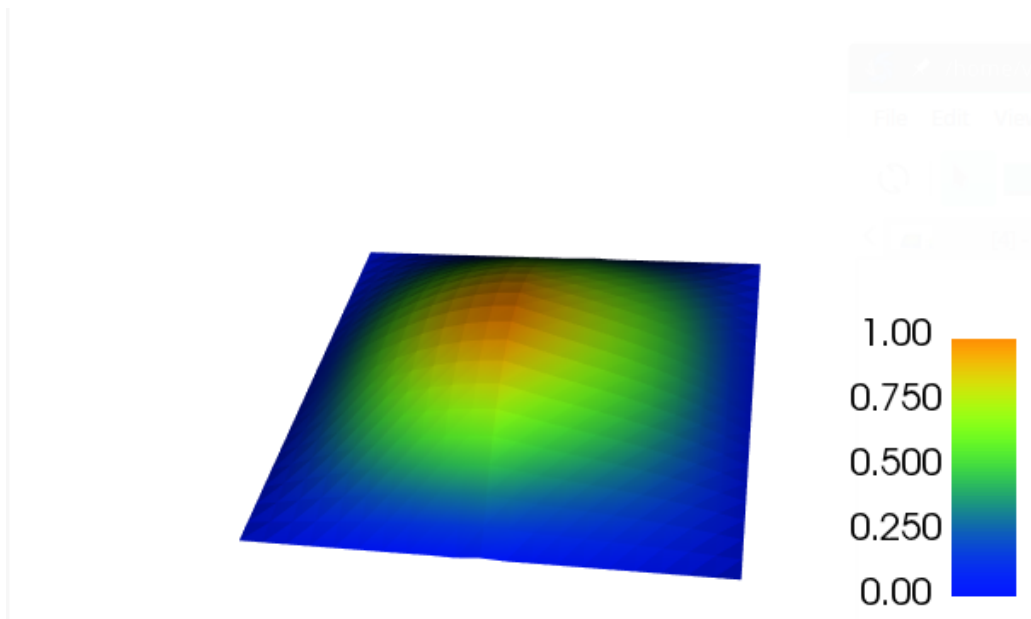


Рисунок 6 – Решение задачи (38)-(39) при  $t = 0$ ,  $n = 400$

Решение задачи (22)-(28) при 400 треугольниках и  $t = 10$ . (Рисунок 7)

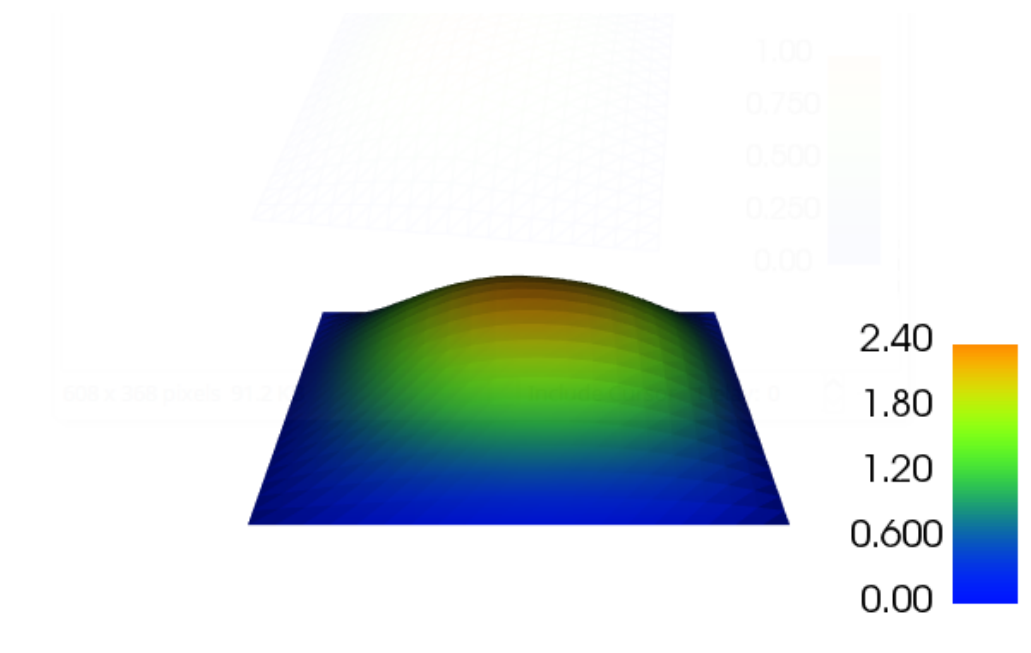


Рисунок 7 – Решение задачи (38)-(39) при  $t = 10$ ,  $n = 400$

Решение на  $t = 100$ , при триангуляции 10000 треугольниками (Рисунок 9).  
Триангуляция приведена на рисунке 8:

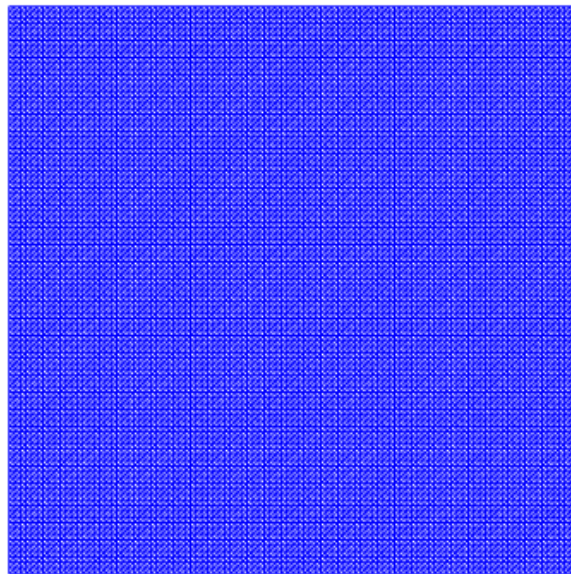


Рисунок 8 – Триангуляция области  $\Omega$  при  $n = 10000$

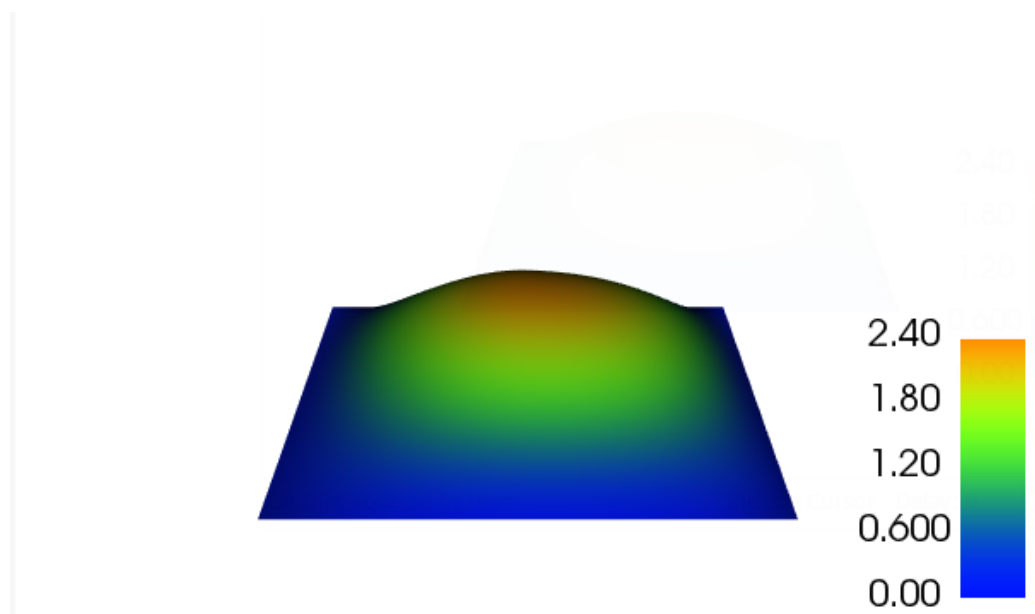


Рисунок 9 – Решение задачи (38)-(39) при  $t = 10$ ,  $n = 10000$

Проведем исследование погрешности по формулам (36) и порядок метода (37). Коэффициент  $k$  возьмем равным  $\frac{1}{2}$ , а константу  $M = 1$

п треугольников	$  u  $
100	1.847176
400	1.89189
1600	1.903268

Таблица 1 – Норма найденного решения при различных  $n$

Итого получили  $E_0 = 0.025$ , и порядок метода  $p = 2$ .

# ЗАКЛЮЧЕНИЕ

В работе на основе метода конечных элементов построен вычислительный алгоритм решения задачи сопряжения уравнений гиперболического и параболического типов. Разработана программа, реализующая построенный алгоритм, использующая возможности вычислительного пакета FEniCS. Проведен вычислительный эксперимент, на основе которого получена апостериорная оценка точности.



# СПИСОК ИСПОЛЬЗУЕМЫХ ИСТОЧНИКОВ

1. Гельфанд, И.И., Некоторые вопросы анализа и дифференциальных уравнений / И.И. Гельфанд // Диф. ур-ия. – 1959. – Т.14, №3. – С. 3-19.
2. Лейбезон, Л.Л. Движение природных жидкостей и газов в пористой среде / Л.Л. Лейбезон., – ОГИЗ, Гостехиздат, 1947. - 244с.
3. Hughes Thomas, J.R. The finite element method: linear static and dynamic finite element analysis / Hughes Thomas J. R., – Dover Publications, 2012. – 704 с.
4. Anders Logg, Automated Solution of Differential Equations by the Finite Element Method / Anders Logg, – Rent Publications, 2014. – 600 с.
5. Anders Logg, Automated Solution of Differential Equations by the Finite Element Method. The FEniCS book / Anders Logg, Kent-Andre Mardal, Garth N. Wells, – Berlin: Shpringer, 2011. – 720 с.

# ПРИЛОЖЕНИЕ А

## Программа для решения задачи о сопряжении гиперболического и эллиптического уравнений

```
from __future__ import division
from dolfin import *
import numpy as np
from helpers import *
import sys

n = 10
tau = 0.5
T = 3
# Function definitions
u1_def = "sin(pi*x[0])*sin(pi*x[1])"
phi_def = u1_def
f2_def = "10*(t+1)*sin(pi*x[0]*x[1])"
psi_def = "sin(pi*x[0])*sin(pi*x[1])"
f1_def = "20*t*sin(pi*x[0]*x[1])"
# Defining [0,1]x[0,1] mesh with finite elements of Lagrange type
mesh = UnitSquareMesh(n, n)
V = FunctionSpace(mesh, "Lagrange", 1)

domains = define_domains(mesh, V, n)

# Create submesh and boundaries for resolving equation on Omega_2
mesh2 = SubMesh(mesh, domains, 2)
boundaries = define_mesh2_boundaries(mesh2)

V2 = FunctionSpace(mesh2, "Lagrange", 1)
u_omega1_layer0 = interpolate(Expression(u1_def), V2)

# — Define measures
ds = Measure("ds")[boundaries]

# ————— define space, finite-element basis function v, and u

u_omega2_layer0 = TrialFunction(V2)
v = TestFunction(V2)
n = FacetNormal(mesh2)
f1 = Expression(f1_def, t=0)
f2 = Expression(f2_def, t=0)
psi = Expression(psi_def)
```

```

u_0 = Expression(u1_def)
# ————— Second layer

u2_1 = TrialFunction(V2)
a = u2_1*v*dx + tau*inner(nabla_grad(u2_1), nabla_grad(v))*dx
# a = inner(nabla_grad(u2_1), nabla_grad(v))*dx
u1_1 = interpolate(Expression("sin(pi*x[0])*sin(pi*x[1])", t=tau), V2)
bcs = [DirichletBC(V2, u1_1, boundaries, 2), DirichletBC(V2, 0, boundaries, 1)]
L = f2*v*dx + inner(grad(u1_1), n)*v*ds(2)

u2_1 = Function(V2)

solve(a == L, u2_1, bcs=bcs)
u1_1 = interpolate(Expression("sin(pi*x[0])*sin(pi*x[1])", t=tau), V)
u_1 = get_whole_function(V, mesh, u1_1, u2_1, domains)

# plot(u_1)

# ————— Layers 2..T

dx = Measure("dx")[domains]
t = 1
boundaries = define_mesh_boundaries(mesh)

u_n = u_1
u_nml = u_0
# u_np1 = TrialFunction(V)
# v = TestFunction(V)

bc = DirichletBC(V, 0, boundaries, 1)
f1 = Expression(f1_def, t=t)

while t <= T:
    u_np1 = TrialFunction(V)
    v = TestFunction(V)
    f1.t = t
    f2.t = t
    # L = f1*v*dx(1) + f2*v*dx(2) + 1/t**2*(2*u_1 - u_0)*v*dx(1)

    u_np1 = Function(V)
    solve(a == L, u_np1, bcs=bc)
    t += tau
    u_nml = u_n
    u_n = u_np1
    p = plot(u_np1, title="t={}".format(t), interactive=False)
    p.write_png('t={}'.format(t))

```

```

print norm(u_np1, 'l2')
plot(u_np1, title="t={}".format(t))
print "t = {}".format(t)

interactive()

from dolfin import *
from fenicstools import interpolate_nonmatching_mesh

def get_whole_function(V, mesh, u1, u2, domains):
    u2 = interpolate_nonmatching_mesh ( u2 , V)
    V_dofmap = V.dofmap()
    chi1 = Function(V)
    chi2 = Function(V)
    gamma_dofs = []
    for cell in cells(mesh): # set the characteristic functions
        if domains[cell] == 1:
            chi1.vector()[V_dofmap.cell_dofs(cell.index())] = 1
            gamma_dofs.extend(V_dofmap.cell_dofs(cell.index()))
        else:
            chi2.vector()[V_dofmap.cell_dofs(cell.index())]=1
    gamma_dofs = list(set(gamma_dofs))
    u2.vector()[gamma_dofs] = 0
    u_0 = project(chi1*u1, V)
    u_0 += project(chi2*u2, V)
    return u_0

def define_domains (mesh, V, cells_num) :
    domains = CellFunction("size_t", mesh, 0)
    domains.set_all(1)
    right_domain = AutoSubDomain (lambda x : x[0] >= 0.5 )
    right_domain.mark(domains, 2)
    return domains

def define_mesh_boundaries ( mesh ) :
    boundaries = MeshFunction ("size_t", mesh, 1)

    boundaries.set_all(0)
    class DirichletBCBoundary(SubDomain):
        def inside(self, x, on_boundary):
            return on_boundary
    d_boundary = DirichletBCBoundary()
    d_boundary.mark(boundaries, 1)
    return boundaries

def define_mesh2_boundaries ( mesh ) :
    boundaries= MeshFunction("size_t", mesh, 1)
    boundaries.set_all(0)
    class DirichletBCBoundary(SubDomain):
        def inside(self, x, on_boundary):

```

```

        return on_boundary and x[0] - 1 < DOLFIN_EPS and x[0] - 0.5
d_boundary = DirichletBCBoundary()
d_boundary.mark(boundaries, 1)
class Gamma(SubDomain) :
    def inside(self, x, on_boundary):
        return x[0] > 0.5 - DOLFIN_EPS and x[0] < 0.5 + DOLFIN_EPS
gamma = Gamma()
gamma.mark(boundaries, 2)
return boundaries

import matplotlib.pyplot as plt
import matplotlib.tri as tri
from dolfin import *
import numpy as np

domain = Rectangle(-1, -1, 1, 1) - Circle(0, 0, 0.5)
mesh = Mesh(domain, 20)
n = mesh.num_vertices()
d = mesh.geometry().dim()

# Create the triangulation
mesh_coordinates = mesh.coordinates().reshape((n, d))
triangles = np.asarray([cell.entities(0) for cell in cells(mesh)])
triangulation = tri.Triangulation(mesh_coordinates[:, 0],
                                  mesh_coordinates[:, 1],
                                  triangles)

# Plot the mesh
plt.figure()
plt.triplot(triangulation)
plt.savefig('mesh.png')

# Create some function
V = FunctionSpace(mesh, 'CG', 1)
f_exp = Expression('sin(2*pi*(x[0]*x[0]+x[1]*x[1]))')
f = interpolate(f_exp, V)

# Get the z values as face colors for each triangle(midpoint)
plt.figure()
zfaces = np.asarray([f(cell.midpoint()) for cell in cells(mesh)])
plt.tripcolor(triangulation, facecolors=zfaces, edgcolors='k')
plt.savefig('f0.png')

# Get the z values for each vertex
plt.figure()
z = np.asarray([f(point) for point in mesh_coordinates])
plt.tripcolor(triangulation, z, edgcolors='k')
plt.savefig('f1.png')

```

```

# Comment to prevent pop-up
plt.show()

# for ipython notebook
%matplotlib inline

def mesh2triang(mesh):
    xy = mesh.coordinates()
    return tri.Triangulation(xy[:, 0], xy[:, 1], mesh.cells())

def plot(obj):
    plt.gca().set_aspect('equal')
    if isinstance(obj, Function):
        mesh = obj.function_space().mesh()
        if (mesh.geometry().dim() != 2):
            raise(AttributeError)
        if obj.vector().size() == mesh.num_cells():
            C = obj.vector().array()
            plt.tripcolor(mesh2triang(mesh), C)
        else:
            C = obj.compute_vertex_values(mesh)
            plt.tripcolor(mesh2triang(mesh), C, shading='gouraud')
    elif isinstance(obj, Mesh):
        if (obj.geometry().dim() != 2):
            raise(AttributeError)
        plt.triplot(mesh2triang(obj), color='k')

# example
mesh = UnitSquareMesh(10, 10)
plt.figure()
plot(mesh)
plt.show()
Q = FunctionSpace(mesh, "CG", 1)
F = interpolate(Expression("x[0]"), Q)
plot(F)
plt.show()

```